

А.Г. ЖАБИН, Т.Т. ЛЯХОВИЧ

## МИНЕРАЛОГИЧЕСКИЕ КРИТЕРИИ, МЕТОДЫ ПОИСКА И ОЦЕНКИ РУДНЫХ МЕСТОРОЖДЕНИЙ

Прикладная эффективность применения минералогических критериев поиска, разведки и оценки рудных месторождений обусловлена ясным обозначением их информационного веса как по формационным классам рудных объектов, так и по их иерархии (рудное тело→месторождение→поле). Минералогические критерии не могут быть универсальными, годными для всех рудных формаций и всех иерархий. Критерии позволяют определять направление из окорудного ореола в сторону рудного тела, уровень подсечения зональной колонки, рудную формуацию, делать оценку запасов. Минералогические критерии используются в естественном комплексе с прочими – геологическими, литохимическими и геофизическими.

В 30–80-е гг. XX в. минералоги накопили огромный фактический материал, прямо или косвенно относящийся к поискам, разведке и оценке рудных месторождений. Особенно большая доля исследований относится к так называемым типоморфным и типохимическим свойствам минералов, например, кристалломорфологическим. [7, 8]. Частично эти данные опубликованы в научных статьях и монографиях, основной же объем сосредоточен в научных и производственных отчетах. По нашей оценке, основанной на подробном знакомстве с несколькими выборками монографий, статей и отчетов этого периода, их информационное поле характеризуется слабой общей теоретической проработкой первичных данных, малыми объемами генерализации и сортировки; необоснованно широким применением «критериев» и «признаков», квалифицированных как универсальные; редким обозначением общего и относительного информационного веса конкретных критериев и признаков.

Например, в 218 изученных статьях обозначенной тематики за 1980–1983 гг. содержатся общие рекомендации в общем виде: обнаруженные закономерности можно использовать при поисках рудных месторождений. Лишь в пяти статьях выявлены технологические особенности поисков, разведки, оценки, а в семи было обозначено критериально-информационное пространство обнаруженных закономерностей как в направлении рудно-формационного сорта объектов, так и их геологической иерархии (рудное тело→месторождение→поле).

Мы утверждаем, что отсутствуют некие универсальные минералогические критерии, способствующие поискам, разведке и оценке рудных месторождений, которые применимы ко всем рудным формациям и геологическим иерархиям. Универсальными являются научные идеи (например, об общей зональной «колонке» минералоотложения), но не вещественные критерии и признаки. Последние всегда конкретны.

В чем смысл их конкретности и есть ли способ повысить прикладную эффективность обнаруженных закономерностей? Отсутствие универсальных вещественных критериев (не путать с идеями) обусловлено следующим:

1. Информация, которую можно получить при исследовании минералов, всегда построена иерархически: минеральный индивид (зерно, кристалл) →минеральные агрегаты (горные породы, руды) →геологическое тело (как совокупность минеральных агрегатов).

2. Пределы, ограничения эффективного использования минералогических признаков, закономерностей [3, 9, 29]: по видам, сортам, классам формаций и фаций [12] объектов; по размерам объектов, отличающихся числом стадий формирования, т. е. по онтогенетическому развитию; по абсолютному возрасту объектов (филогенез); по пространственному дальнодействию критерия, признака (например, в окорудных ореолах); по динамике минералообразования [1].

Информационное пространство поисково-оценочного критерия, признака может быть сугубо локальным (минеральный индивид, прожилок, миароловая пустотка); внутриинформационным: пространство конкретного объекта определенной рудной формации (индивидуа) или всех объектов этой формации (вида), отнесенными к фациальной группе формаций (например, к группе гидротермально-осадочных фаций рудных формаций: свинцово-цинковых в известняках, медно-колчеданных в вулканитах, стронцианитовых в терригенных отложениях и т. п.); отнесенными лишь к определенному классу (например, плутоногенному) рудных формаций.

Неучет этих ограничений и приводит к чрезмерному, необоснованному повышению информационного пространства и уровня применения критерия, т. е. к его дискредитации.

Повышение прикладной эффективности минералогического критерия можно достигнуть также ясным пониманием задач, вопросов, которые этот критерий раскрывает: не вообще способствует поискам, а определяет конкретную задачу в технологической цепочке операций поисков, разведки и оценки (в пространстве, во времени, в массе вещества, в окорудных изменениях и т. п.).

Например, минералогические критерии, используемые при поисках, разведке и оценке рудных месторождений, можно разделить на три группы по решаемым задачам.

1. Указатели размеров пространства и его структуры: размер, объем; геометрическая форма; векторы, указывающие в сторону рудного тела; векторы или изолинии общей зональной структуры как указатели тыловой (нижней) и фронтальной (верхней) зон.

2. Указатели времени минералоотложения (его длительности и последовательности).

3. Указатели массы рудо-минералоотложения [2].

Минералогические указатели направления к рудному телу, например, внутри окорудного пространства, есть следствие следующего: развития стандартных зональных колонок отложения, обусловленных наличием ограниченного числа стандартных типов гидротермальных растворов; падения изолиний теплового поля в сторону от рудоподводящих иrudolokalizующих структур (термобаро-геохимия, декрепитация, равновесные пары минералов и т.д.); корреляции размера, состава и формы вкрапленников минералов-индикаторов с температурой их роста в окорудном пространстве [10].

Масса вещества при рудоотложении положительно коррелируется с интенсивностью и длительностью функционирования гидротермального теплового потока; наличием долгоживущего рудоосадительного барьера (физического, физико-химического, механического и т.п.) [14, 16]; общим временем рудоотложения; степенью и объемом дорудной метасоматической проработки субстрата; количеством стадий минералоотложения.

Для оценки информационного поля эффективного приложения найденного критерия (признака) важно также различать рудные объекты двух классов: А – с концентрированным оруденением, Б – с рассеянным оруденением (зоны рассеянной минерализации).

Примерами концентрированного оруденения являются пиритты<sup>1</sup> в медно-колчеданной формации, хромититы в ультрабазитах, медно-никелевые в габброноритовых комплексах и др. Зоны рассеянной минерализации описаны как сопровождающие концентрированные руды в виде фаций и как образования самостоятельные. В этом случае они возникают в зонах застойных диффузно перемешиваемых растворов без существенного градиента концентраций, без ясной зональной структуры, с низкими содержаниями полезных компонентов, например, зоны пиритовой вкрапленности в вулканитах, продуктивных на медно-цинково-колчеданное концентрированное оруденение.

### Минералогические критерии и методы поисков, разведки и оценки рудных месторождений

*Критерии, указывающие направление из окорудного ореола в сторону рудного тела.* В подавляющем большинстве случаев основное количество элементов-индикаторов в окорудных метасоматитах месторождений тех или иных формационных типов содержится не в породообразующих, а в акессорных минералах. Такие минералы образуют вкрапленность, вкрапленные ореолы около рудных тел. Как правило, мощность, дальнодействие таких вкрапленных ореолов превышает мощность окорудных метасоматитов (рис. 1.) [11, 13, 15, 17, 23].

<sup>1</sup> Анхимономинеральные пиритовые породы, характерные для колчеданных рудных провинций [2, 12, 13].

Возникает некоторая зональная суперпозиция вкрапленности минералов-индикаторов на субстрате окорудных метасоматитов, обладающих петрохимической зональностью. Метасоматиты соответствуют этапу преимущественно дорудной проработки вмещающих пород, а вкрапленность – рудному этапу. Цифровое моделирование зонального роста таких окорудных вкрапленностей проведено в [10].

Минералы, кристаллизующиеся в пространстве зональной колонки окорудных метасоматитов, отражают ее внутреннюю зональную структуру в своих пространственно меняющихся свойствах (рис.1, табл.1).

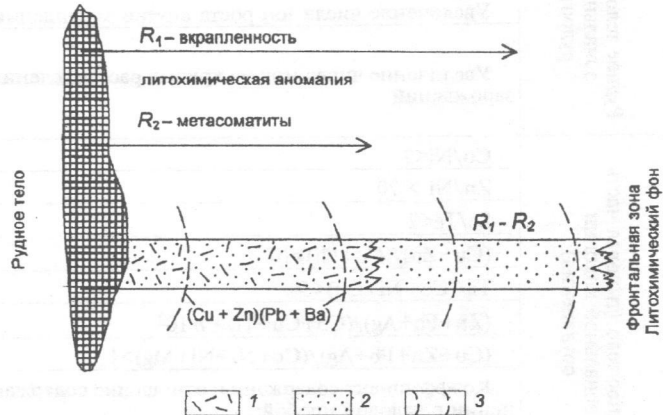


Рис. 1. Дальнодействие окорудных метасоматитов ( $R_2$ ) и вкрапленностей ( $R_1$ ) минералов-индикаторов, выросших центростремительно от рудного тела;  $R_1-R_2$  – внешняя часть окорудного ореола, в которой отсутствуют макро- и микроскопически различные метасоматитические образования, но присутствует вкрапленность метакристаллов минерала-индикатора: 1 – окорудные метасоматиты; 2 – вкрапленность минерала-индикатора; 3 – изолинии какого-либо литохимического показателя зональности; Cu + Zn/Pb + Ba – литохимический показатель

*Критерии диагностики рудно-минеральной формации.* Существуют прямые способы определения вида рудно-минеральной формации по аллювиальной гальке, шлихам из ручьев, обломкам в почвах, делювию, штуфам из разведочных канав, шурфов.

Приведем примеры, когда диагностика рудно-минеральной формации осуществляется по минералам, не только входящих в состав руд, но и образующих вкрапленные окорудные ореолы [15].

В [5] для 17 рудных формаций золоторудных месторождений на основе байесовского подхода [20] по содержанию элементов-примесей в пирите, галените, сфалерите и арсенопирите продемонстрированы научные и прикладные возможности диагностики конкретных золоторудных формаций. Приведены априорные вероятности (частоты распределения), позволяющие оценивать, формационно идентифицировать упомянутые минералы, обнаруженные в ходе поисковых и разведочных работ. Определены также мультиплексивные коэффициенты ( $K_u$ ) идентификации рудных формаций, например, по пириту (рис. 2).<sup>2</sup>

<sup>2</sup> График изменения мультиплексивного коэффициента идентификации рудных формаций по пириту  $K_u = (Zn-Cu-Pb-Ag) / (As-Co-Co-Ni)$ . По методу геохимических спектров строились графики распределения средних содержаний элементов-примесей по 17 рудным формациям. На основе парных сопоставлений графиков рассчитаны наиболее эффективные мультиплексивные коэффициенты, в данном случае  $K_u = (Zn-Cu-Pb-Ag) / (As-Co-Co-Ni)$ .

Таблица 1

Направление рудного тела, определяемое по градиентно меняющимся свойствам вкрапленности пирита в окорудном ореоле [ 11 ]

		← Направление в сторону рудного тела		
		Свойства пирита, градиентно меняющиеся в сторону рудного тела		
			Группы свойств по нарастанию сложности, стоимости определения	
Рудное тело (тыловая часть зональной колонки рудоотложения)	Увеличение линейной (например, количество вкрапленников на линии в 10 см), площадной или объемной плотности вкрапленности		Визуально измеряемые на месте – в керне, штуфах, на стенах канав и штолен	Фронтальная (верхняя, периферическая) часть зональной колонки оруднения
Рудное тело (тыловая часть зональной колонки оруднения)	Увеличение размера вкрапленников (построение простейших гистограмм); в тылу – пентагондодекаэдр (210), на фронте – куб (100)			
Рудное тело (тыловая часть зональной колонки оруднения)	Увеличение кристалломорфологического коэффициента по [8] ( $x$ ): + (100 – 200) - (100 – 200)			
Рудное тело (тыловая часть зональной колонки оруднения)	Увеличение числа зон роста внутри вкрапленников			
Рудное тело (тыловая часть зональной колонки оруднения)	Увеличение числа мод на кривых распределения размеров (увеличение числа зарождений)			
Рудное тело (тыловая часть зональной колонки оруднения)	$\text{Co}/\text{Ni} < 2$	>2	Простые спектральные определения состава пирита, выделенного из пород окорудного ореола	Фронтальная (верхняя, периферическая) часть зональной колонки оруднения
Рудное тело (тыловая часть зональной колонки оруднения)	$\text{Zn}/\text{Ni} > 70$	<70		
Рудное тело (тыловая часть зональной колонки оруднения)	$\text{Se}/\text{Te} < 2$	>2		
Рудное тело (тыловая часть зональной колонки оруднения)	$(\text{Cu}+\text{Zn})/(\text{Co}+\text{Ni}) > 10$	<10		
Рудное тело (тыловая часть зональной колонки оруднения)	$\text{Ti}/(\text{Co}+\text{Ni}+\text{Cu}) < 50$	>50		
Рудное тело (тыловая часть зональной колонки оруднения)	$(\text{Zn}+\text{Pb}+\text{Ag})/(\text{Co}+\text{Cu}+\text{Ti}) > n \cdot 10^2$	$<n \cdot 10^2$		
Рудное тело (тыловая часть зональной колонки оруднения)	$(\text{Cu}+\text{Zn}+\text{Pb}+\text{Ag})/(\text{Co}+\text{Ni}+\text{Ni}+\text{Mg}) > 1$	<1		
Рудное тело (тыловая часть зональной колонки оруднения)	Коэффициент содержания: отношение содержания элемента в пирите в сравнении с валовой пробой: $K_C < 10$	>10		
Рудное тело (тыловая часть зональной колонки оруднения)	$S/\text{Fe} > 1$			
Рудное тело (тыловая часть зональной колонки оруднения)	Электронный и дырочный типы проводимости $p-n$	$n$	Наиболее сложные и дорогостоящие лабораторные исследования	Фронтальная (верхняя, периферическая) часть зональной колонки оруднения
Рудное тело (тыловая часть зональной колонки оруднения)	Микротвердость, $\text{kgs/mm}^2$ : 600-1358	1200-2000		
Рудное тело (тыловая часть зональной колонки оруднения)	Температура декрепитации, $^{\circ}\text{C}$ : <250	>250		
Рудное тело (тыловая часть зональной колонки оруднения)	Удельное сопротивление, $\text{Ом}\cdot\text{см}$ : <10	>10		
Рудное тело (тыловая часть зональной колонки оруднения)	Скорость спада вызванной поляризации, $\text{m}^{-1}\cdot\text{C}^{-1}$ <1	>1		
Рудное тело (тыловая часть зональной колонки оруднения)	Изотопия серы, %: $\Delta S^{34} > 0$	<0		
Рудное тело (тыловая часть зональной колонки оруднения)	Размер элементарной ячейки ( $\text{\AA}$ ): >5,4180	<5,4180		

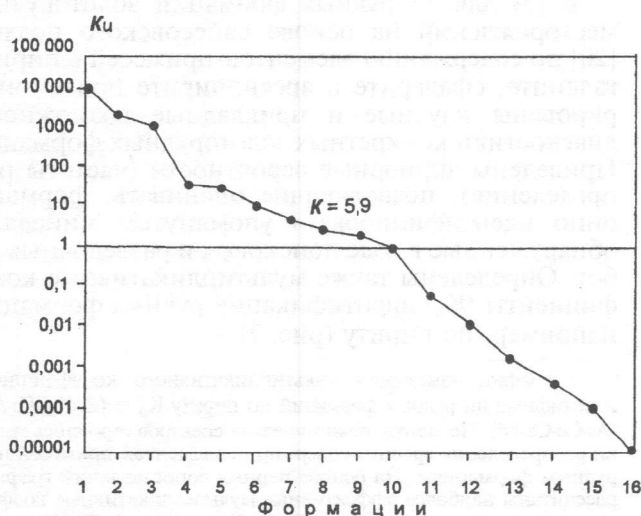


Рис. 2. График изменения мультиплексивного коэффициента идентификации рудных формаций по пириту:  $K_u = (\text{Zn}-\text{Cu}-\text{Pb}-\text{Ag}) / (\text{As}-\text{Co}^2-\text{Ni})$ : 1 – 15 – формации: 1 – золотоколчеданно-полиметаллическая; 2 – золотокарбонатно-сульфидная; 3 – золотобарит-полиметаллическая; 4 – кварц-сульфидная; 5 – золотосульфидно-полиметаллическая; 6 – золотосульфидно-кварцевая; 7 – золотополиметаллическая; 8 – золотокварцевая; 9 – кварц-золоторудная; 10 – золотосеребряная; 11 – золотоскарновая; 12 – золотосульфидная; 13 – золотосурьмяная; 14 – золотолистивенитовая; 15 – золотожелезистая; 16 – золотомолибденитовая (по [5])

Таблица 2

Мощности залежей и максимальное число зон роста пирита на месторождении Бескесском

Залежь	Условная мощность, м	Число зон пирита
Главная Худесская	150	330
Промежуточная Худесская	60	101
Кыркольская	8	9
Бескесская	19	27
Власенчихинская	90	82
Быковская	60	110

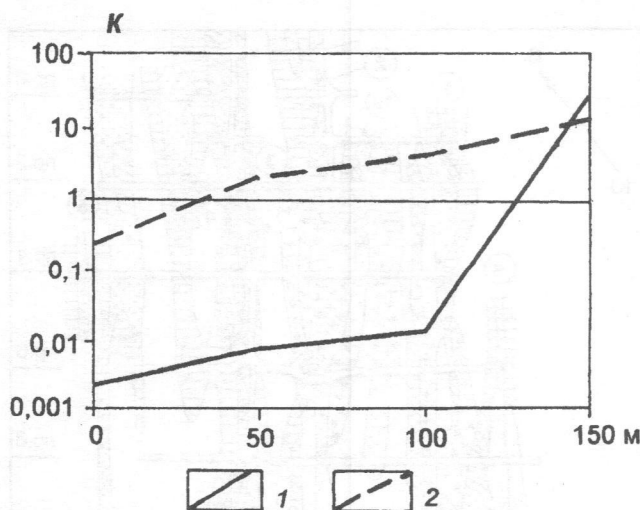


Рис. 3. Оценка уровня подсечения околоврудного ореола (месторождение Меградзор, Армения), график изменения с глубиной мультиплексивных коэффициентов зональности: 1 —  $K_1$  — по элементам-примесям в сфалерите ( $\text{Ag-Te-Cu/Bi}^2\text{La}$ ); 2 —  $K_2$  — по валовым геохимическим пробам ( $\text{Cu-Te/Be-Ni}$ ).

Высокоэффективным примером рудно-формационной диагностики является использование турмалина [21] для гранитогенных вольфрамово-оловянных и других рудных формаций.

Оценка гипсометрического уровня среза околоврудных геохимических аномалий (ореолов). В [4, 19] оценены уровни эрозионного среза или подсечения скважинами зональных околоврудных ореолов по данным литохимического опробования. Но такая оценка становится более точной и контрастной, если основывается не только на данных валовой литохимической пробы, а также на элементах-при-

месях во вкрапленных минералах. На рис. 3 приведен пример решения этой задачи для золотополиметаллического месторождения Меградзор в Армении [4].

*Оценка вероятного масштаба и минерального типа оруденения.* Мы предполагаем, что геохимические и минералогические критерии выявляют связь с масштабами, массой минералоотложения через свойства времени. Известны два таких свойства [24]: длительность и последовательность.

Критерий прогнозной оценки масштабов оруденения по длительности минералоотложения разработан И.А. Богушем [2] на примере медно-колчеданных месторождений Северного Кавказа. Во всех колчеданных месторождениях мира независимо от их возраста в пирите отмечена микрозональность роста (несколько сотен, тысяч зон в одном зерне). Предположено, что число таких зон отражает длительность, микропульсации минералоотложения, коррелирующиеся с массоотложением (рис. 4).

Для подтверждения вывода о соответствии зональности пирита продуктивности рудных источников проведена ранговая корреляция между максимальным числом зон роста пирита и мощностью колчеданных залежей (табл. 2).

Критерий прогнозной оценки масштабов оруденения по последовательности (этапности, стадийности) минералообразования приведен по [5] для Итакинского месторождения в Забайкалье. Пириты из крупных (двухстадийных) рудных тел обогащены сурьмой, никелем, серебром, а пириты из мелких (одностадийных) тел — титаном и ванадием. Использован мультиплексивный коэффициент  $K_m = (\text{Sb-Ni})/(\text{Ti-V})$  (рис. 5).

В [22] продемонстрирован эффективный метод подсчета запасов неметаллов (по данным аналитического опробования) непосредственно по минералам, основанный на данных минералогического картирования. Выигрышем

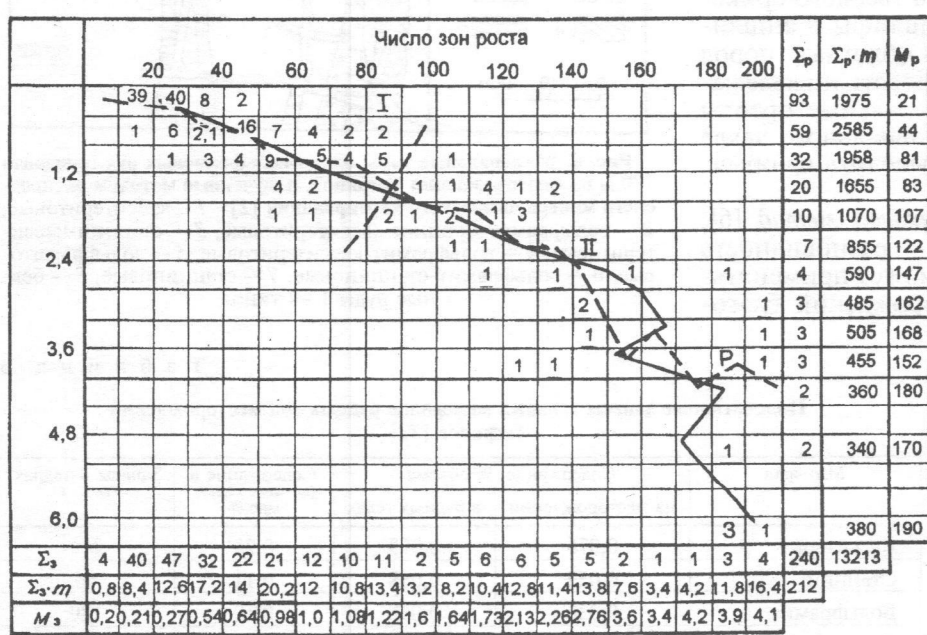


Рис. 4. Корреляционная решетка и графики зависимости зональности от размеров зерен ( $z$ ) и размеров зерен от числа зон роста ( $p$ ):  $\Sigma_z$  — суммарное количество зерен с зональностью данного класса;  $\Sigma_z \cdot m$  — сумма средних показателей размеров зерен пирита в данном классе зональности роста;  $M_z$  — количество зон роста в зернах пирита данного класса;  $\Sigma_p$  — сумма средних показателей числа зон роста в зернах данного класса;  $M_p$  — среднее число зон роста в зернах пирита данного класса;  $\Sigma_p \cdot m$  — сумма средних показателей зональности в данном классе размерности зерен. I — отрезок графика, соответствующий вулканогенно-осадочным рудам; II — отрезок графика, соответствующий комбинированным рудам (по [3]).

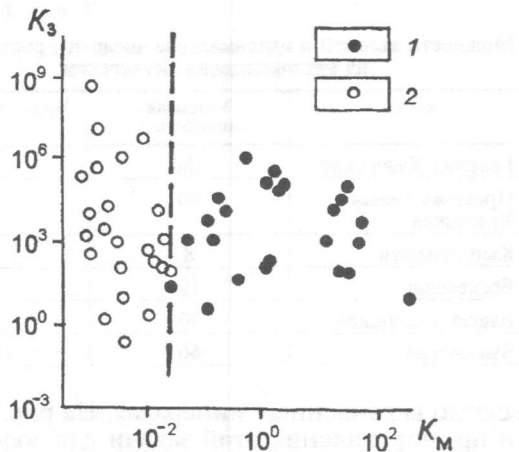


Рис. 5. Зависимость величин коэффициента зональности  $K_3$  и показателя масштаба оруднения  $K_M$ : 1 — крупных размеров; 2 — средних и мелких размеров

такого метода является разделение рудного пространства на блоки, где находятся разные минеральные, технологически учитываемые формы металлов — в данном случае три минеральных формы олова: касситерит  $\text{SnO}_2$ , стannин  $\text{Cu}_2(\text{Fe}, \text{Zn})\text{SnS}_4$  и варламовит  $(\text{Sn}, \text{Fe})(\text{OH})_4$  (рис. 6, табл. 3).

*Диагностика типа и ореола распространения околоврудных метасоматитов и рудной минерализации во вторичных породах.* В зоне гипергенеза околоврудные породно-метасоматические и минералогические вкрапленные и прожилковые ореолы изучаются при исследовании обломочной фракции литохимических проб (1–3 или 2–3 мм) [25]. Фракция минералов цементируется полистиролом, эпоксидной смолой с получением твердого брикета, из которого изготавливаются шлифы и аншлифы. Они включают не менее 10 обломков пород (чаще 20–30) и позволяют картировать нижележащие зоны метасоматитов и минеральные ореолы при мощности элювиально-делювиального чехла до 8 м. Такую фракцию можно выделить из обычных литохимических проб.

*Минералого-геохимический шлиховой метод* [6], разработанный в ЦНИГРИ [6], — разновидность шлихово-геохимической съемки и может применяться при поисках коренных месторождений благородных, цветных и редких металлов. Он включает ряд последовательных операций: отбор проб из рыхлых отложений, выделение электромагнитной фракции, определение в последней содержания кристаллов лимонитизированного пирита (суммарное для пентагондекаэдрического, октаэдрического и кубического габитусов), оконтуривание на основании полученных данных перспективных площадей, анализ на золото и другие рудные элементы монофракций лимонитизированного пирита или электромагнитной фракции шлиховых проб, оконтуривание по дан-

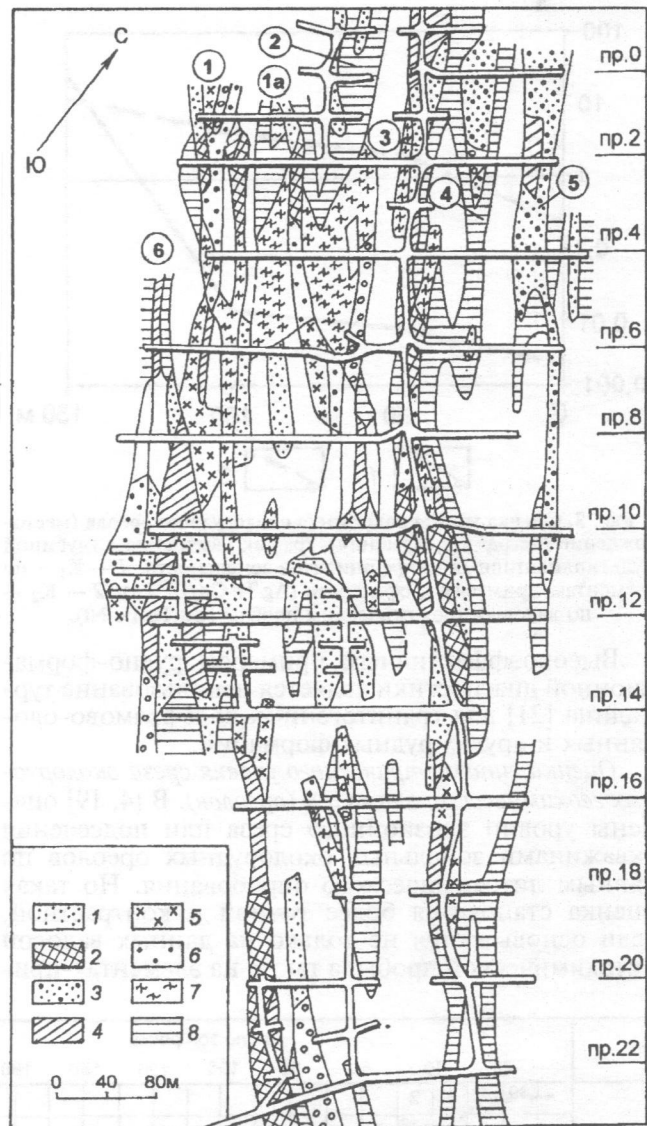


Рис. 6. Минеральные типы олово-вольфрамовых руд горизонта 770 м на месторождении Тигриное, полученные методом экспресс-минералогического картирования [2]: 1 — касситеритовые, 2 — вольфрамит-станин-касситеритовые, 3 — станин-касситеритовые, 4 — вольфрамит-касситеритовые, 5 — вольфрамитовые, 6 — вольфрамит-станиновые, 7 — станиновые, 8 — бедные руды 1–4 типов

Таблица 3  
Подсчитанные запасы главных минералов рудных зон месторождений Тигриное [22]

Минерал	Содержание, % объема		Содержание в рудных телах, мас.%	Запасы в недрах, тыс. т
	на месторождении	в рудных телах		
Касситерит	0,076	0,093	0,23	200
Станин	0,052	0,068	0,11	90
Вольфрамит	0,036	0,038	0,10	180
Сфалерит	0,160	0,209	0,29	270
Арсенопирит и леллингит	0,095	0,091	0,20	160
Топаз	0,534	0,844	1,06	1000
Флюорит	0,105	0,208	0,24	250
Циннвалльдит	0,450	0,550	0,63	625
Карбонаты (Fe, Mn)	0,054	0,079	0,11	100

ным анализов участков максимального развития рудной (например, золотой) минерализации и определение ее рудно-геохимических формационных типов.

*Минералогическое картирование как универсальный метод поисков и оценок на рудоносных территориях* обоснован и проиллюстрирован для трех иерархий (рудное тело→месторождение→поле) [17, 18, 27, 26].

Наиболее эффективные прикладные результаты получаются при комплексной съемке территории: оконтуривание окорудных метасоматитов как по формационному типу (кварц-серicitовые, березиты, листвениты, скарноиды, роговики и т.п.), так и по интенсивности проработки субстрата (в баллах); оконтуривание зон вкрапленности минералов-индикаторов оруденения; оконтуривание зон прожилковой (рудной и нерудной) минерализации; оконтуривание литохимических окорудных ореолов.

Минералогическое картирование может производиться как в режиме, сопровождающем литохи-

мическое опробование территории (взятие части утяжеленных проб), так и в автономном, обычно на территориях уже покрытых литохимической съемкой (расшифровывание рудно-формационной принадлежности и внутренней зональной структуры выделенных аномальных геохимических полей).

Превосходные обобщения по топоминералогическим исследованиям рудоносных узлов, провинций, металлогенических зон выполнены Н.П. Юшкиным [30, 31].

Примерами высокоэффективного в прикладном и научном отношении минералогического картирования являются исследования В.А. Попова и В.И. Поповой [22] по вольфрамо-оловянному месторождению Тигриное (Приморье) и Б.В. Чеснокова [28] по Березовскому золоторудному району на Среднем Урале.

Таким образом, на конкретных примерах продемонстрирована прикладная эффективность минералогических методов и критериев при поиске и оценке рудных месторождений.

## ЛИТЕРАТУРА

1. Абрамсон Г.Я., Жабин А.Г. Движение концентрационной волны золота в родственных зональных рядах месторождений // Докл. РАН. 1994. № 2. С. 212–215.
2. Богуш И.А. Оценка продуктивности и режима функционирования эндогенных источников колчеданных руд по зональности роста пирита // Докл. АН СССР. 1981. Т.258. № 5. С. 1188–1191.
3. Григорьев Д.П., Жабин А.Г. Онтогенез минералов. Индивиды. М.: Наука, 1975. 395 с.
4. Григорян С.В. Рудничная геохимия. М.: Недра, 1992. 293 с.
5. Григорян С.В., Ляхович Т.Т. Оценка геохимических аномалий по элементам-примесям в минералах. М., 2000. 78 с.
6. Гуреев В.Ф., Гребенчиков А.М. Методические указания по применению минералого-геохимического шлихового метода при поисках золоторудных месторождений. М., 1979. 21с.
7. Езикова Н.З. Кристалломорфологические основы учения о типоморфизме минералов // Регион. и генетич. минералогия. Киев: Наук. думка. 1979. № 3. С.31–42.
8. Езикова Н.З. Поисковая кристалломорфология. М.: Недра. 1984. 143 с.
9. Жабин А.Г. Онтогенез минералов. Агрегаты. М.: Наука. 1979. 275 с.
10. Жабин А.Г. Анатомия вкрапленников минералов-индикаторов и модели зональности окорудных ореолов // Зап. ВМО. 1990. № 2. С.47–62.
11. Жабин А.Г. Градиентно меняющиеся свойства минералов-индикаторов в окорудных ореолах // Докл. АН СССР. 1991. Т. 319. № 3. С.688–690.
12. Жабин А.Г., Самсонова Н.С., Исаакович И.З. Минералогические исследования окорудных ореолов. М.: Недра, 1987. 159 с.
13. Жабин А.Г., Кременецкий А.А. Рудоконцентрирующий барьер как функция пирит-пирротинового превращения // Отечественная геолог. 1993. № 1. С.71–79.
14. Жабин А.Г., Самсонова Н.С., Астахов Г.Н. Фации рудоотложения, обусловленные контрастным составом вмещающих пород // Геология рудных месторождений. 1984. № 3. С. 73–86.
15. Жабин А.Г., Абрамсон Г.Я., Чекаидзе В.Б. Окорудный литохимический ореол в онтогенезе рудного месторождения // Зап. ВМО. 1997. № 1. С. 3–17.
16. Жабин А.Г., Шарова И.Г., Самсонова Н.С. Черносланцевые формации как полистадийные и полифункциональные геохимические барьеры на золото и другие элементы // Отечественная геолог. 2000. № 4. С.49–54.
17. Жабин А.Г., Исаакович И.З., Чекаидзе В.Б. Минералогическое картирование рудоносных территорий: цели,
18. Жабин А.Г., Исаакович И.З., Чекаидзе В.Б. Минералогическое картирование рудоносных территорий: цели, методы, прикладная эффективность, комплексирование. 2. Минералогическое картирование в онтогеническом аспекте // Зап. ВМО. 2002. № 1. С. 114–121.
19. Инструкция по геохимическим методам поисков рудных месторождений. М.: Недра, 1983. 191 с.
20. Кузьмин В.И. Байесовский подход при оценке истинности суждений в поисковой минералогии // Отечественная геолог. 1993. № 5. С.43–49.
21. Кузьмин В.И., Добропольская Л.С., Солнцева Л.С. Турмалин и его использование при поисково-оценочных работах. М.: Недра, 1979. С. 171–177.
22. Попов В.А., Попова В.И. Методика и результаты минералогического картирования вольфрам-оловянного месторождения Тигриное (Приморье). Екатеринбург, 1992, 92 с.
23. Покоров В.Г. Пирит (к геохимии, минералогии, экономике и промышленному использованию // Тр. СНИИГ-ГИМСа. В.102. Новосибирск, 1970. С. 18–24.
24. Уитроу Дж. Естественная история времени. М.: Прогресс, 1964. 431 с.
25. Чекаидзе В.Б., Исаакович И.З., Мильев С.А. Минералого-геохимические ореолы Наталкинского золоторудного месторождения // Руды и металлы. 1999. № 6. С. 45–50.
26. Чекаидзе В.Б., Жабин А.Г., Исаакович И.З. Минералогическое картирование рудоносных территорий: цели, методы, прикладная эффективность, комплексирование. 4. Минералогическое картирование рудных полей // Зап. ВМО. 2002. № 3. С. 85–96.
27. Чекаидзе В.Б., Исаакович И.З., Жабин А.Г. Минералогическое картирование рудоносных территорий: цели, методы, прикладная эффективность, комплексирование. 3. Минералогическое картирование рудных тел и месторождений // Зап. ВМО. 2002. № 2. С. 109–119.
28. Чесноков В.В. Минералогическое картирование как метод оценки рудных районов (на примере Березовского рудного района на Среднем Урале) // Тр. Свердл. горн. ин-та. 1975. В.106. С. 55–65.
29. Юшкин Н.П. Теория и методы минералогии. Л.: Наука, 1977. 292 с.
30. Юшкин Н.П. Опыт среднемасштабной минералогии. Л.: Наука, 1980. 376 с.
31. Юшкин Н.П. Топоминералогия. М.: Недра, 1982. 288 с.

ИМГРЭ

Рецензент — В.С. Ежов